

Sistemes de coordenades

Points

Object

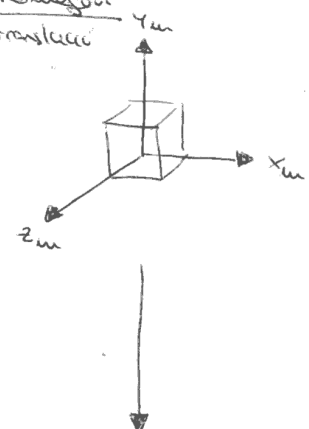
space

Transformació
del model

World
space

$$\begin{pmatrix} x \\ y \\ z \\ 1 \end{pmatrix}$$

Podem homogeneitzar els vectors (4×4) afegint un component homogeni (w). Us podem fer la transformació matricial de 3×3 .



Transformacions geomètriques:

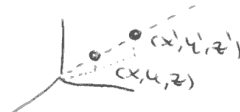
• Translatió

$$\begin{pmatrix} 1 & 0 & 0 & x_t \\ 0 & 1 & 0 & y_t \\ 0 & 0 & 1 & z_t \\ 0 & 0 & 0 & 1 \end{pmatrix} \begin{pmatrix} x \\ y \\ z \\ 1 \end{pmatrix} = \begin{pmatrix} x' \\ y' \\ z' \\ 1 \end{pmatrix}$$



• Escalat

$$\begin{pmatrix} x_s & 0 & 0 & 0 \\ 0 & y_s & 0 & 0 \\ 0 & 0 & z_s & 0 \\ 0 & 0 & 0 & 1 \end{pmatrix} \begin{pmatrix} x \\ y \\ z \\ 1 \end{pmatrix} = \begin{pmatrix} x' \\ y' \\ z' \\ 1 \end{pmatrix}$$



• Rotació

$$\begin{pmatrix} x_r^2 d + c & x y d - z s & x z d + y s & 0 \\ x y d + z s & y^2 d + c & y z d - x s & 0 \\ x z d - y s & y z d + x s & z^2 d + c & 0 \\ 0 & 0 & 0 & 1 \end{pmatrix} \begin{pmatrix} x \\ y \\ z \\ 1 \end{pmatrix} = \begin{pmatrix} x' \\ y' \\ z' \\ 1 \end{pmatrix}$$

$$\begin{pmatrix} 1 & 0 & 0 & 0 \\ 0 & c - s & 0 & 0 \\ 0 & s & c & 0 \\ 0 & 0 & 0 & 1 \end{pmatrix}$$

$$c = \cos(\alpha), \quad s = \sin(\alpha)$$

$$\rightarrow x$$

$$\begin{pmatrix} c & 0 & s & 0 \\ 0 & 1 & 0 & 0 \\ -s & 0 & c & 0 \\ 0 & 0 & 0 & 1 \end{pmatrix}$$

$$\rightarrow y$$

$$\begin{pmatrix} c & -s & 0 & 0 \\ s & c & 0 & 0 \\ 0 & 0 & 1 & 0 \\ 0 & 0 & 0 & 1 \end{pmatrix}$$

$$\rightarrow z$$

Transformem el model aplicant transformacions (T | S | R)*

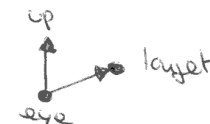
Generem una matrícula de transformació a partir de les matrícies de transformació:

$$M = M_n * \dots * M_1$$

$$M \begin{pmatrix} x_m \\ y_m \\ z_m \\ 1 \end{pmatrix} = \begin{pmatrix} x_a \\ y_a \\ z_a \\ 1 \end{pmatrix}$$

Transformem l'escola:

• gluLookAt(eye, target, up)



• T(0,0,-d) * R_z(-\psi) * R_x(\theta) * R_y(-\phi) * T(-VRP)

$$\sqrt{\begin{pmatrix} x_a \\ y_a \\ z_a \\ 1 \end{pmatrix}} = \begin{pmatrix} x_e \\ y_e \\ z_e \\ 1 \end{pmatrix}$$



Projectem l'escola:

• gluPerspective(fov, aspect, z_n, z_f)

$$\begin{pmatrix} \cotan \frac{fov}{2} & 0 & 0 \\ \frac{\cotan \frac{fov}{2}}{aspect} & 0 & 0 \\ 0 & 0 & \frac{z_n + z_f}{z_n - z_f} \frac{2z_n z_f}{z_n + z_f} \\ 0 & 0 & -1 \end{pmatrix}$$

$$\cotan \theta = \frac{\cos \theta}{\sin \theta}$$

$$P \begin{pmatrix} x_e \\ y_e \\ z_e \\ 1 \end{pmatrix} = \begin{pmatrix} x_c \\ y_c \\ z_c \\ w_c \end{pmatrix} = \begin{pmatrix} x_c \\ y_c \\ z_c \\ -z_e \end{pmatrix}$$

conservant per a y_e
Mots punts llunyans corresponent a pocs punts z

projecció (més llunyans quan més petits)

$$\frac{x_e}{z_e} = \frac{x_e'}{z_e'}$$

$$\frac{y_e}{z_e} = \frac{y_e'}{z_e'}$$

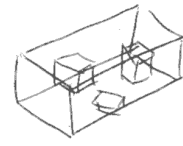
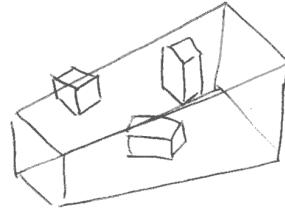
$-w_c \leq x_c, y_c, z_c \leq w_c$ objectes llunyans més petits)

Clip space

Divisió de perspectiva

Aplicarem la divisió de perspectiva:

$$\begin{pmatrix} \frac{x_c}{w_c} \\ \frac{y_c}{w_c} \\ \frac{z_c}{w_c} \end{pmatrix} = \begin{pmatrix} x_n \\ y_n \\ z_n \end{pmatrix}$$



(Necessari objectes llunyans més petits)

Normalized Device Space (NDS)

Transformació de finestre (viewport) i de profunditat

Window space

Ho adaptarem a la finestra:

$$\begin{pmatrix} \frac{x_n + 1}{2} \\ \frac{y_n + 1}{2} \\ \frac{z_n + 1}{2} \end{pmatrix} = \begin{pmatrix} x_d \\ y_d \\ z_d \end{pmatrix}$$

$$\begin{array}{l} 0 \leq x_d \leq w \\ 0 \leq y_d \leq h \\ 0 \leq z_d \leq 1 \end{array}$$

$$z_d = \frac{1}{w_c} = -\frac{1}{z_e}$$

- Si Viewport $(0, 0, w, h)$
- Si Depth Range $(0, 1)$

Vectors (d. entrellaç entre dos punts)

En couples de $\begin{pmatrix} x \\ y \\ z \\ 1 \end{pmatrix}$ utilitzarem $\begin{pmatrix} x \\ y \\ z \\ c \end{pmatrix}$ per a evitar traslladar el vector.

$$\begin{array}{c} \vec{v} \\ \vec{p} \\ \vec{q} \end{array}$$

$v = q - p$

$$\begin{array}{l} S_q - S_p = S(q-p) = S_v \\ R_q - R_p = R(q-p) = R_v \\ T_q - T_p = T(q-p) \neq T(q-p) = T_v \end{array}$$

$$\left. \begin{array}{l} \text{Object space} \\ \downarrow M \\ \text{World space} \\ \downarrow V \\ \text{Eye space} \\ \downarrow N \end{array} \right\} ? \quad X$$

No té sentit aplicar la transformació de perspectiva:

$$\begin{array}{l} \text{No té sentit aplicar la transformació de perspectiva:} \\ \text{Vectors iguals} \\ v = q - p \\ v' = q' - p' \\ v = v' \end{array}$$

$$\begin{array}{l} \text{Vectors diferents} \\ v = q - p \\ v' = q' - p' \\ v \neq v' \end{array}$$

Vectors normals

$$\left. \begin{array}{l} \text{Object space} \\ \downarrow \bar{M}^T \\ \text{World space} \\ \downarrow \bar{V}^T \\ \text{Eye space} \end{array} \right\} N$$

utilitzarem $\begin{pmatrix} x \\ y \\ z \\ 1 \end{pmatrix}$ per la mateixa raó, però no podem escalar:

$$\begin{pmatrix} x \\ y \\ z \\ 1 \end{pmatrix}$$

$$\begin{pmatrix} x \\ y \\ z \\ 1 \end{pmatrix}$$

$$\begin{pmatrix} x \\ y \\ z \\ 1 \end{pmatrix}$$

$$\begin{pmatrix} x \\ y \\ z \\ 1 \end{pmatrix}$$

$$\begin{pmatrix} x \\ y \\ z \\ 1 \end{pmatrix}$$

$$\begin{pmatrix} x \\ y \\ z \\ 1 \end{pmatrix}$$

$$\begin{pmatrix} x \\ y \\ z \\ 1 \end{pmatrix}$$

$$\begin{pmatrix} x \\ y \\ z \\ 1 \end{pmatrix}$$

$$\begin{pmatrix} x \\ y \\ z \\ 1 \end{pmatrix}$$

$$\begin{pmatrix} x \\ y \\ z \\ 1 \end{pmatrix}$$

$$\begin{pmatrix} x \\ y \\ z \\ 1 \end{pmatrix}$$

$$\begin{pmatrix} x \\ y \\ z \\ 1 \end{pmatrix}$$

$$\begin{pmatrix} x \\ y \\ z \\ 1 \end{pmatrix}$$

$$\begin{pmatrix} x \\ y \\ z \\ 1 \end{pmatrix}$$

$$\begin{pmatrix} x \\ y \\ z \\ 1 \end{pmatrix}$$

$$\begin{pmatrix} x \\ y \\ z \\ 1 \end{pmatrix}$$

$$\begin{pmatrix} x \\ y \\ z \\ 1 \end{pmatrix}$$

$$\begin{pmatrix} x \\ y \\ z \\ 1 \end{pmatrix}$$

$$\begin{pmatrix} x \\ y \\ z \\ 1 \end{pmatrix}$$

$$\begin{pmatrix} x \\ y \\ z \\ 1 \end{pmatrix}$$

$$\begin{pmatrix} x \\ y \\ z \\ 1 \end{pmatrix}$$

$$\begin{pmatrix} x \\ y \\ z \\ 1 \end{pmatrix}$$

$$\begin{pmatrix} x \\ y \\ z \\ 1 \end{pmatrix}$$

$$\begin{pmatrix} x \\ y \\ z \\ 1 \end{pmatrix}$$

$$\begin{pmatrix} x \\ y \\ z \\ 1 \end{pmatrix}$$

$$\begin{pmatrix} x \\ y \\ z \\ 1 \end{pmatrix}$$

$$\begin{pmatrix} x \\ y \\ z \\ 1 \end{pmatrix}$$

$$\begin{pmatrix} x \\ y \\ z \\ 1 \end{pmatrix}$$

$$\begin{pmatrix} x \\ y \\ z \\ 1 \end{pmatrix}$$

$$\begin{pmatrix} x \\ y \\ z \\ 1 \end{pmatrix}$$

$$\begin{pmatrix} x \\ y \\ z \\ 1 \end{pmatrix}$$

$$\begin{pmatrix} x \\ y \\ z \\ 1 \end{pmatrix}$$

$$\begin{pmatrix} x \\ y \\ z \\ 1 \end{pmatrix}$$

$$\begin{pmatrix} x \\ y \\ z \\ 1 \end{pmatrix}$$

$$\begin{pmatrix} x \\ y \\ z \\ 1 \end{pmatrix}$$

$$\begin{pmatrix} x \\ y \\ z \\ 1 \end{pmatrix}$$

$$\begin{pmatrix} x \\ y \\ z \\ 1 \end{pmatrix}$$

$$\begin{pmatrix} x \\ y \\ z \\ 1 \end{pmatrix}$$

$$\begin{pmatrix} x \\ y \\ z \\ 1 \end{pmatrix}$$

$$\begin{pmatrix} x \\ y \\ z \\ 1 \end{pmatrix}$$

$$N = (VM)^{-T} = (V\bar{M})^{-T} = (\bar{M}^T \bar{V}^T)^T = (\bar{V}^T \bar{M}^T)^{-1}$$

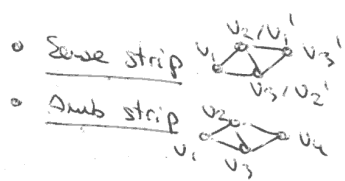
(com que no trobem el criteri per a fer servir N)

Processos de rendereització

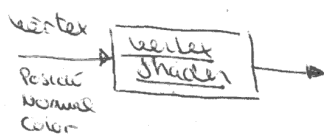
Generació de primitives

Típus de primitives:

- Punts
- Línies
- Polígons

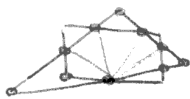


Transformació de vértexs



Processament de primitives

• Clipping (retallat)



Interpolem els atributs dels nous vértexs.

• Viewport & depth transformation

$$x = \frac{x+1}{2}w$$

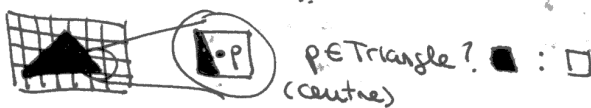
$$y = \frac{y+1}{2}h$$

$$z = \frac{z+1}{2}$$

Rasterització

Generació de fragments.

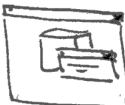
Interpolació dels atributs.



Operacions als fragments

• Pixel ownership test

El frame buffer és extern a OpenGL. Cal comparar que un pixel forma part del context actiu.



• Blending

Per a objectes translúcids. Barreja de colors.

glEnable(GL_BLEND)

glBlendFunc(...)

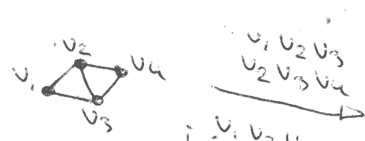
glBegin(GL_POLYGON)

glVertex3f(x, y, z)

glNormal3f(a, b, c)

...

glEnd()



glGenVertexArrays(1, &VAO)

glBindVertexArray(VAO)

glGenBuffers(1, &VBO)

glBindBuffer(GL_ARRAY_BUFFER, VBO)

glBufferData(...)

glVertexAttribPointer(...)

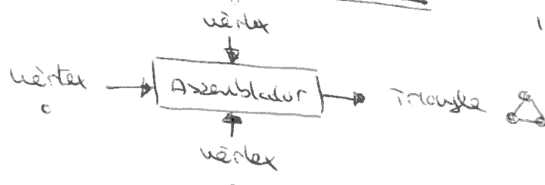
...

glDrawArrays(GL_TRIANGLES, 0, n)

o he

glDrawElements(GL_TRIANGLES, n, GL_UNSIGNED_INT, indices)

Assemblatge de primitives



• Dissosi de perspectiva

$$x = x/w$$

$$y = y/w$$

$$z = z/w$$

• Back-face Culling

glEnable(GL_CULL_FACE)

Càlcul la normal als 3 vértexs v_0, v_1, v_2 (l'ordre dels vértexs importa).

Processament de fragments

Càlcul del color i la profunditat.



• Stencil test

Refresc de méscores

(trans, reflect, etc.)

glEnable(GL_STENCIL_TEST)

glStencilFunc(...)

glStencilOp(...)

• Depth test

Comprovar la z en parella de cada desplaçament en què es posen els objectes.

glEnable(GL_DEPTH_TEST)

glDepthFunc(...)

Operacions al frame buffer

- Escriu al buffer de color

si Color Mask (GL_TRUE / GL_FALSE, ..., ..., ...) (RGB)

- Escriu al buffer de profunditat

si Depth Mask (GL_TRUE / GL_FALSE)

Model de Phong

Reflexió
especular

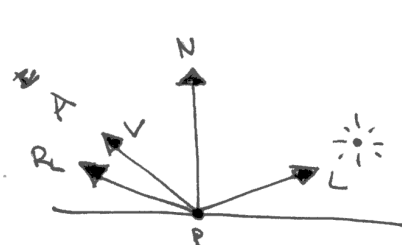
Tacca especular

$$I_{CP} = k_a I_a + \sum k_d I_L (N \cdot L) + \sum k_s I_L (R_L \cdot V)^n$$

Llum
ambient

Si: $N \cdot L > 0$

$\Rightarrow N \cdot L > 0$
 $\Rightarrow N \cdot L < 0$



k_a k_d k_s
coeficients del
material (RGB)

I_a I_L
llum (RGB)

n
brillantor del
material (mida de
la tacca)

phong(L, N, V)

let ambient = $k_a \cdot I_a$

if ($N \cdot L > 0$)

let $R_L = \text{reflect}(-L, N)$

let diffuse = $k_d \cdot I_L \cdot (N \cdot L)$

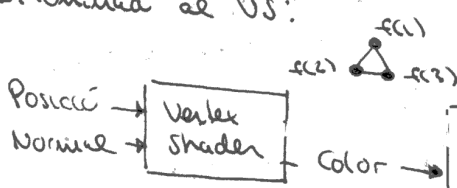
let specular = $k_s \cdot I_L \cdot \max(0, R_L \cdot V)^n$
else

let diffuse = $(0, 0, 0)$

let specular = $(0, 0, 0)$

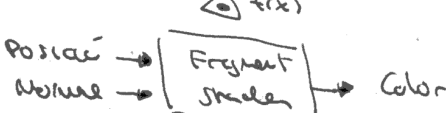
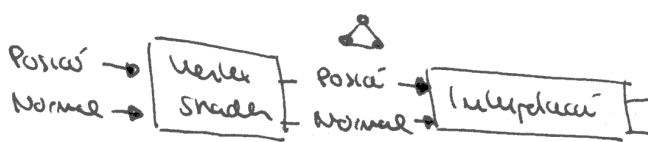
return ambient + diffuse + specular

Il·luminació al VS:



A cada fragment es calcula el color
interpolant els dels vèrtexs (més eficient, més realista)

Il·luminació al FS:

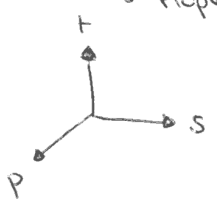


A cada fragment es calcula el color
as la posició i normal interpolades el fragment.
(més eficient, més realista)

Textures

Principals utilització:

- Rellen
- Propietats optiques



Refinació: tot de la 3 dimensions que aula
texels amb altre i més ricada d'informació.

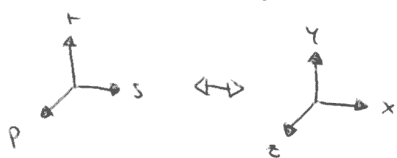
Exemples:

- Coloració de superfícies llenes en funció de les certes de nivell (1D).
- Coloració de superfícies (unidimensional) (2D).
- Coloració de volums (3D).

Tipus de textures.

- Color (K_d)
- Brilantor o gloss (K_s)

Espai normalitzat:



Generació de textures

On:

- Al model
- A l'aplicació / GS
- Al VS (quan depenen de la càmera)
- Al FS (quan no valen que s'interpolin)

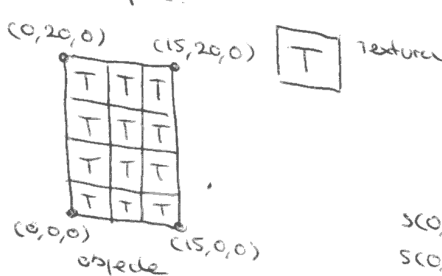
• Plans S; T

$$s(p) = d(p, S) = a_s p_x + b_s p_y + c_s p_z + d_s = \begin{pmatrix} a_s \\ b_s \\ c_s \\ d_s \end{pmatrix} \cdot \begin{pmatrix} p_x \\ p_y \\ p_z \\ 1 \end{pmatrix} = S \circ p$$

$$t(p) = d(p, T) = a_t p_x + b_t p_y + c_t p_z + d_t = \begin{pmatrix} a_t \\ b_t \\ c_t \\ d_t \end{pmatrix} \cdot \begin{pmatrix} p_x \\ p_y \\ p_z \\ 1 \end{pmatrix} = T \circ p$$

Distància al pla

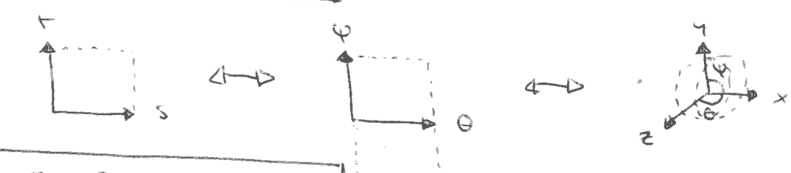
Exemple:



$$\begin{aligned} s(0,0,0) &= 0 \Rightarrow d_s = 0 \\ s(0,20,0) &= 0 \Rightarrow b_s = 0 \\ s(15,0,0) &= 3 \Rightarrow a_s = 3/15 \\ S &= (\frac{3}{15}, 0, c_s, 0), c_s \in \mathbb{R} \end{aligned}$$

$$\begin{aligned} t(0,0,0) &= 0 \Rightarrow d_t = 0 \\ t(0,20,0) &= 4 \Rightarrow b_t = 4/20 \\ t(15,0,0) &= 0 \Rightarrow a_t = 0 \\ T &= (0, \frac{4}{20}, c_t, 0), c_t \in \mathbb{R} \end{aligned}$$

• Mapatge esfèric



$$\begin{aligned}\theta &= 2\pi s \\ \psi &= \pi(t - 0.5) \\ x &= \sin(\theta) \cos(\psi) \\ y &= \sin(\psi) \\ z &= \cos(\theta) \cos(\psi)\end{aligned}$$

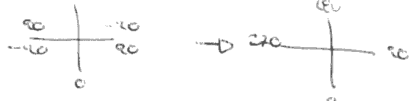
$$\theta = \text{atan2}(x, z) *$$

$$\psi = \text{asin}(y)$$

$$s = \frac{\theta}{2\pi}$$

$$t = \frac{\psi}{\pi} + 0.5$$

* atan2 té en couple si signe de $x \neq z$, a différenciar d'atan ($\text{atan}(\pm) = \text{atan}(\frac{\pm}{\mp})$)



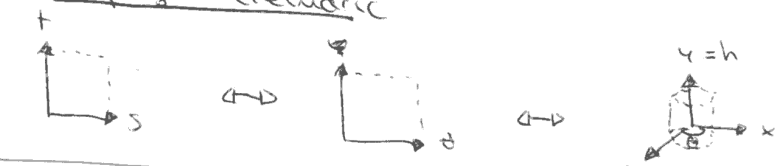
$$S: \mathbb{R}^2 \rightarrow \mathbb{R}^3$$

$$s, t \rightarrow x, y, z$$

$$S^{-1}: \mathbb{R}^3 \rightarrow \mathbb{R}^2$$

$$x, y, z \rightarrow s, t$$

• Mapatge cilíndric



$$\begin{aligned}\theta &= 2\pi s \\ h &= t \\ x &= \sin \theta \\ y &= h \\ z &= \cos \theta\end{aligned}$$

$$\theta = \text{atan2}(x, z) *$$

$$h = y$$

$$s = \frac{\theta}{2\pi}$$

$$t = h$$

$$C: \mathbb{R}^2 \rightarrow \mathbb{R}^3$$

$$s, t \rightarrow x, y, z$$

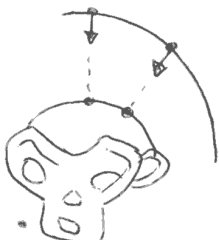
$$C^{-1}: \mathbb{R}^3 \rightarrow \mathbb{R}^2$$

$$x, y, z \rightarrow s, t$$

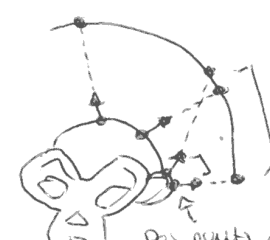
• Mapatge d'objectes



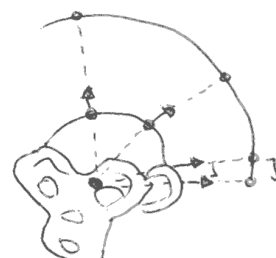
Rius de visió
reflectit



Normal de la superfície intermedia



Normal de l'objecte
Normal dels punts proxims poden corresponent a els punts il·luminats



Centrade de l'objecte

Síncro

• Mapatge qualitat (mesh parameterization)

- Partició de la malla
- Preservació de l'àrea, l'angle, l'extensió, ..

ús de textures

QImage image ("image.png")

QImage = QImage::Format_RGBA8888 (QImage::Format_ARGB32), glBindTexture(GL_TEXTURE_2D, image.mData), glTexParameteri(GL_TEXTURE_2D, GL_TEXTURE_MIN_FILTER, image.height), glTexParameteri(GL_TEXTURE_2D, GL_TEXTURE_MAX_FILTER, image.height))

glBindTexture(GL_TEXTURE_2D, texture) ← Carregar

glTexImage2D(GL_TEXTURE_2D, 0, GL_RGB, image.width(), image.height(), 0, GL_RGBA, GL_UNSIGNED_BYTE, image.bits())

glActiveTexture(GL_TEXTURE0)

glBindTexture(GL_TEXTURE_2D, texture)

program → return uniformValue("sampled0", 0) ← Rendretractar

Shader ↓

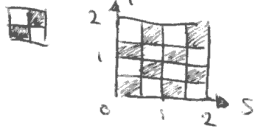
uniform sampler2D
sampled0

texel = texture(
sampled0, st)

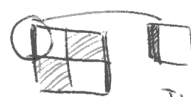
Repetició de la texture (wrapping)

glTexParameter(GL_TEXTURE_2D, GL_TEXTURE_WRAP_S, GL_REPEAT)
 glTexParameter(GL_TEXTURE_2D, GL_TEXTURE_WRAP_T, GL_CLAMP_TO_EDGE)

- Ans repetició de la texture GL_REPEAT

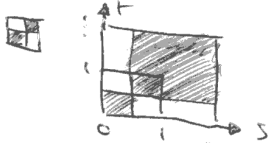


Probleme de
filtratge:



Interpolació pels a l'altra banda
de la texture

- Sense repetició de la texture GL_CLAMP_TO_EDGE



Sense problema
de filtratge

Combinació del color de la texture

- Substitució

$$\text{fragmentColor} = \text{textureColor}$$

- Modulació

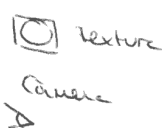
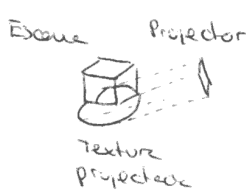
$$\text{fragmentColor} = \text{textureColor} \cdot \text{vertexColor}$$

- Transferències (decals)

$$\text{fragmentColor} = \text{mix}(\text{vertexColor}, \text{textureColor}, \text{textureColor.a})$$

if (textureColor.a < threshold) discard

Mapatge projectiu



Al VS:

$$T(0.5) \cdot S(0.5) \cdot P_T \cdot V_T \cdot M \cdot \begin{pmatrix} x \\ y \\ z \\ 1 \end{pmatrix} = \begin{pmatrix} x' \\ y' \\ z' \\ w \end{pmatrix}$$

Posarem en clusió de perspectiva per a poder
interpolari l'esmentat x' , y' i z' .

Al FS:

$$\begin{pmatrix} x' \\ y' \\ z' \\ w \end{pmatrix} = \begin{pmatrix} s \\ t \end{pmatrix}$$

Aplicacions

◦ Neupage de colors



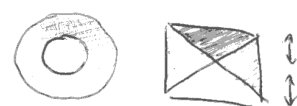
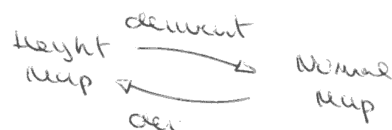
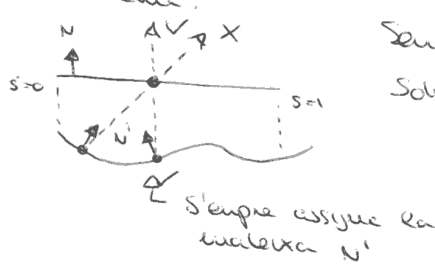
- La textura és un mapa de color (t_{cd}). RGB.
- S'aplica al FS.

◦ Bump / normal mapping

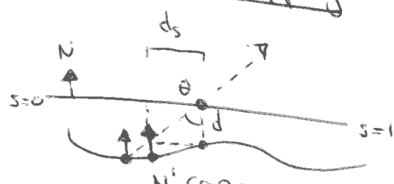


- La textura és un mapa d'alçades/normals $D/x4z$.
- S'aplica al FS.

Problema:

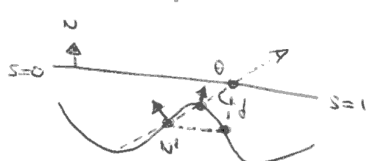


◦ Parallax mapping

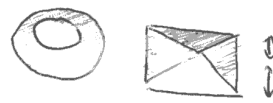


- La textura és un mapa d'alçades i normals $x4z0$.
- S'aplica al FS.

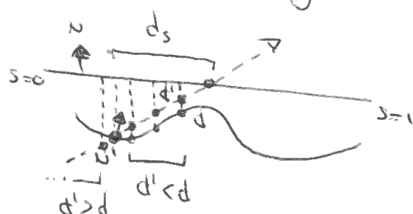
Problema:



Assume V' escàries (sense obstrucció).
Solutió: relief mapping.



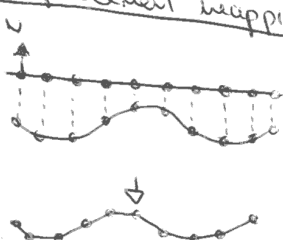
◦ Relief mapping



- La textura és un mapa d'alçades i normals $x4z0$.
- S'aplica al FS.



◦ Displacament mapping

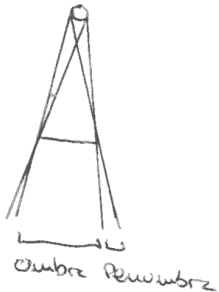
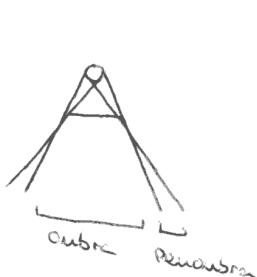
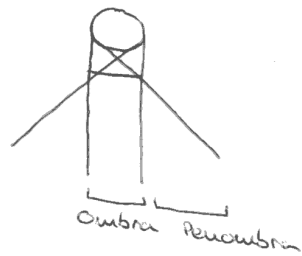
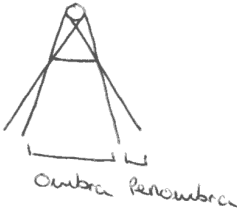


- La textura és un mapa d'alçades D .
- S'aplica al model, al GS o als TCS/TEs (Tesselation Control / Evaluation). En els dos darrers casos el nombre de subdivisiones pot variar en funció de la posició de la malla (més efectiu).

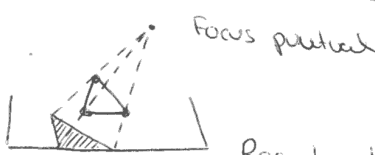
Ombres

Ombra i penombra

- Repòs de la nuva de la font.
- Repòs de la distància entre la font.



Projecció (sense stencil)



z-fighting * offset variable
 $\text{glPolygonOffset}(f, u) \Rightarrow$
 $z' = z + \max(\frac{\partial z}{\partial x}, \frac{\partial z}{\partial y}) f + r \cdot u$
 r valor minimum que garanteix
 que offset > 0.

Probleme: l'ombra pot excedir el receptor.



- Sense test de profunditat
- draw (receptor)

```

glDisable(GL_LIGHTING)
glDisable(GL_DEPTH_TEST)
glMatrixMode(GL_MODELVIEW)
glPushMatrix()
glMultMatrixf(matrix Projeccio)
draw (object Receptor)
glPopMatrix()
glEnable(GL_LIGHTING)
glEnable(GL_DEPTH_TEST)
draw (object)
    
```

- draw (receptor)



- Amb desplaçament
- 1) draw (receptor)
- 2) shader → glUniform ("shadow", true)
 shader → glUniform ("modelMatrix", ...)
- * glPolygonOffset(-1, -1)
 draw (object)
- 3) shader → glUniform ("shadow", false)
- glDisable(GL_POLYGON_OFFSET_FILL)
 draw (object)

Projecció (amb stencil)

stencil buffer *

- Habilitació


```
OpenGLFormat format
format.setStencilFormat()
format.setDepthFormat()
format.setStencilFormat(format)
```
- Obtenir d'informació

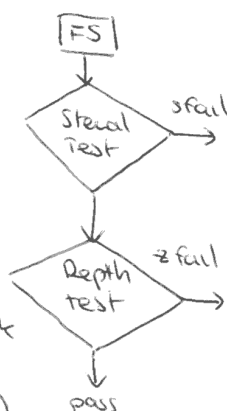

```
glGetInteger(GL_STENCIL_BITS, &bits)
```
- Esborrat


```
glClearStencil(0)
glClear(GL_STENCIL_BUFFER_BIT)
```
- Activació


```
glEnable(GL_STENCIL_TEST)
glStencilFunc(GL_NEVER, /, Vref, mask)
glStencilOp(GL_EQUAL, GL_NEVER, GL_LESS)
```

```

glStencilOp(sfail, zfail, pass)
↑   ↑   ↑
GL_KEEP / GL_ZERO / GL_INCR / GL_DECR /
GL_INVERT / GL_REPLACE (cure)
    
```

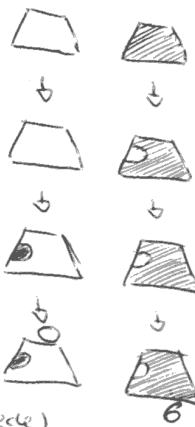


```

1) glEnable(GL_STENCIL_TEST)
glStencilFunc(GL_ALWAYS, 1, 1)
glStencilOp(GLKEEP, GLKEEP, GL_REPLACE)
draw (receptor)
    
```

```

2) glDisable(GL_DEPTH_TEST)
glColorMask(GL_FALSE, ..., GL_FALSE)
glStencilFunc(GL_EQUAL, 1, 1)
glStencilOp(GLKEEP, GLKEEP, GL_ZERO)
glPushMatrix()
glMultMatrixf(matrix Projeccio)
draw (object)
glPopMatrix()
    
```



```

3) glEnable(GL_DEPTH_TEST)
glDepthFunc(GL_LESS)
glColorMask(GL_TRUE, ..., GL_TRUE)
glDisable(GL_LIGHTING)
glStencilFunc(GL_EQUAL, 0, 1)
draw (object)
    
```

```

4) glEnable(GL_LIGHTING)
glDepthFunc(GL_LESS)
glDisable(GL_STENCIL_TEST)
draw (object)
    
```

Projectiu (matríc de projectiu)

Sigui $ax + by + cz + d = 0$ l'equació del pla receptor i (l_x, l_y, l_z) les coordenades del focus de llum; (P_x, P_y, P_z) les coordenades del punt projectat; (p'_x, p'_y, p'_z) les coordenades de la projecció: $ap'_x + bp'_y + cp'_z + d = 0$ (p' pertany al pla receptor).

$$\frac{p'_x - l_x}{P_x - l_x} = \frac{p'_y - l_y}{P_y - l_y} = \frac{p'_z - l_z}{P_z - l_z} \quad (p' \text{ pertany a la secció } LP).$$

Resolent obtenim que $\underline{p' = MP}$.

• Focus puntual

$$M = \begin{pmatrix} -d - bl_y - cl_z & bl_x & cl_x & dl_x \\ al_y & -d - al_x - cl_z & cl_y & dl_y \\ al_z & bl_z & -d - al_x - bl_y & dl_z \\ a & b & c & -al_x - bl_y - cl_z \end{pmatrix}$$

• Focus puntual (origen)

$$M = \begin{pmatrix} -d & 0 & 0 & 0 \\ 0 & -d & 0 & 0 \\ 0 & 0 & -d & 0 \\ a & b & c & 0 \end{pmatrix}$$

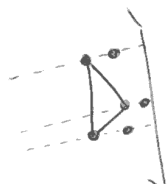
Demostrem:

$$ap'_x + bp'_y + cp'_z + d = 0 \quad \left\{ \begin{array}{l} p' = \lambda P, \lambda \geq 1 \\ \Rightarrow ap_x + bp_y + cp_z + d = 0 \Rightarrow \lambda = \frac{-d}{ap_x + bp_y + cp_z} \end{array} \right.$$

$$MP = \begin{pmatrix} -dp_x \\ -dp_y \\ -dp_z \\ ap_x + bp_y + cp_z \end{pmatrix}$$

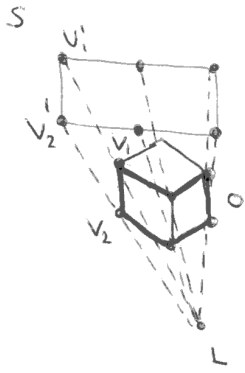
Demo: im per aguent corrent

• Focus direccional (punt a distància infinita)



$$M = - \begin{pmatrix} -d - bl_y - cl_z & \dots & dl_x \\ \vdots & \ddots & \vdots \\ a & \dots & -al_x - bl_y - cl_z \end{pmatrix} + \begin{pmatrix} -d & 0 & 0 & 0 \\ 0 & -d & 0 & 0 \\ 0 & 0 & -d & 0 \\ a & b & c & 0 \end{pmatrix}$$

Volumes d'ombres



$SV_s(O, L) = \{P : P \in S \wedge PL \cap O \neq \emptyset\}$ est le volum de l'ombre de l'objet O résultant de la font de lumen L . Son est points P de l'espace délimitat S tels que la recte autre $P \parallel L$ intersecte O .

Par exemple, l'escene.



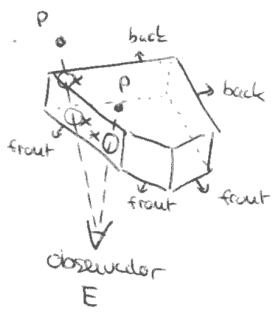
El s'obtient a partir de les aires de cuny, les aunes de O a une cara incident visible; una altre no visible.

$$V_1' = V_1 + \lambda(V_1 - L)$$

$$V_2' = V_2 + \mu(V_2 - L)$$

Ondem la cara del volum (V_1, V_2, V_1', V_2') a partir de l'unes (V_1, V_2).

Les aunes del volum interne són innecessàries per a afectar el comportament de l'algorisme.



$F_s(O, L)$ son les cunes de $SV_s(O, L)$. Un punt P qualvol:

$P \in SV_s(O, L) \Leftrightarrow \{f : f \in F_s(O, L) \wedge P \in f \neq \emptyset\}$

$\Leftrightarrow \{f : f \in \text{front}(F_s(O, L), E) \wedge P \in f \neq \emptyset\} \cup \{f : f \in \text{back}(F_s(O, L), E) \wedge P \in f \neq \emptyset\}$

1) $\text{if}(\text{ColorMask(GL_FALSE}, \dots, GL_FALSE))$ draw(escene)] dibuix al z-buffer

2) $\text{if}(\text{Enable(GL_STENCIL_TEST})$
 $\text{if}(\text{DepthMask(GL_FALSE)})$
 $\text{if}(\text{StencilFunc(GL_ALWAYS, 0, 0)})$
 $\text{if}(\text{Enable(GL_CULL_FACE)}) *$
 $\text{if}(\text{StencilOp(GL_KEEP, GL_KEEP, GL_INCR)})$
 $\text{if}(\text{CullFace(GL_BACK)})$
 draw(volumOmbra)

3) $\text{if}(\text{StencilOp(GL_KEEP, GL_KEEP, GL_DEC)}$
 $\text{if}(\text{CullFace(GL_FRONT)})$
 draw(volumOmbra)

4) $\text{if}(\text{DepthMask(GL_TRUE)})$

$\text{if}(\text{ColorMask(GL_TRUE}, \dots, GL_TRUE))$

$\text{if}(\text{CullFace(GL_BACK)})$

$\text{if}(\text{DepthFunc(GL_LEQUAL)})$

$\text{if}(\text{StencilOp(GL_KEEP, GL_KEEP, GL_KEEP)})$

$\text{if}(\text{StencilFunc(GL_EQUAL, 1, 1)})$

$\text{if}(\text{Disable(GL_LIGHTING)})$

draw(escene)

$$\vec{P} = (P_x, P_y, P_z)$$

$$\vec{n} = (a, b, c)$$

$$ax + by + cz + d = 0$$

Face culling *

$$\text{distance}(P, (a, b, c, d)) = ap_x + bp_y + cp_z + d$$

Alternativament:

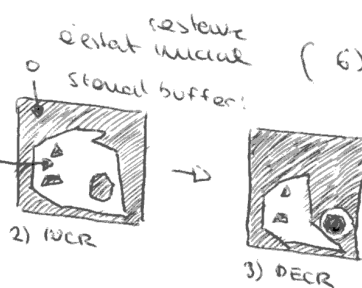
$$\vec{(P - V)} \cdot \vec{n}$$

$\Rightarrow 0 : GL_FRONT$

$\Rightarrow 0 : GL_BACK$

dibuix al stencil buffer
la caras frontals
el punt denc

(5) $\text{if}(\text{StencilFunc(GL_EQUAL, 0, 1)})$
 $\text{if}(\text{Enable(GL_LIGHTING)})$
 draw(escene)



(6) $\text{if}(\text{DepthFunc(GL_LESS)})$
 $\text{if}(\text{Disable(GL_STENCIL_TEST)})$

color buffer:

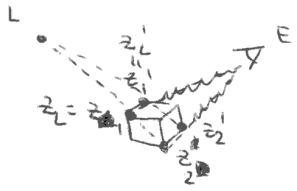


5) EQUAL 0

$\Rightarrow 0 : GL_FRONT$

$\Rightarrow 0 : GL_BACK$

Mapes d'ombres



Generem el mapa d'ombres a partir del mapa de profunditat resultant de restituïr l'escreu des de la perspectiva de la font de llum L.

El mapa d'ombres conté les z_L més properes a L.

Restituïm l'escreu des de la perspectiva de la càmera E

Al VS:

$$T(0.5) \cdot S(0.5) \cdot P_L \cdot V_L \cdot M \cdot \begin{pmatrix} x \\ y \\ z \\ w \end{pmatrix} = \begin{pmatrix} x' \\ y' \\ z' \\ w' \end{pmatrix}$$

$T(0.5)$ - $S(0.5)$: $\cos, 0.5 \in [0, 1]$
 P_L : $[0, 1] \in [0.5, 0.5]$
 V_L : texтура

Al FS:

$$\begin{pmatrix} x' \\ y' \\ w' \end{pmatrix} = \begin{pmatrix} S \\ T \end{pmatrix}$$

$$\frac{z'}{w} \leq \text{ShadowMap } S, T = z_L$$

Posarem la dimissió de

perspectiva per a poder x', y', z'

$w = 1$, interpolació linealment x', y', z'

visible des de L

else

ocult des de L (ombra)

GL_CLAMP_TO_EDGE

ii

GL_TEXTURE_WRAP_S ,
 GL_TEXTURE_WRAP_T
 $\text{GL_TEXTURE_MIN_FILTER}$, GL_LINEAR
 $\text{GL_TEXTURE_MAG_FILTER}$, GL_LINEAR

1) $\text{glActiveTexture(GL_TEXTURE0)}$

$\text{glBindTexture(GL_TEXTURE0, textureId)}$

$\text{glBindTexture(GL_TEXTURE_2D, textureId)}$

Habilitació de la texture

2) $\text{glViewport(0, 0, SHADOW_MAP_WIDTH, SHADOW_MAP_HEIGHT)}$, $\text{glDepthComponent(GL_DEPTH_COMPONENT32F)}$, SHADOW_MAP_WIDTH , SHADOW_MAP_HEIGHT

Generació de la matrícies de visualització i projecció des de la font de llum

$\text{glMatrixMode(GL_PROJECTION)}$
 glLoadIdentity()
 $\text{glRespective(GL_FOG, GL_NEAR, GL_FAR)}$ // Des de la font de llum
 $\text{glMatrixMode(GL_MODELVIEW)}$
 glLoadIdentity()
 $\text{glLookAt(GL_LIGHT0_Position, ..., GL_LIGHT0_Target, ..., GL_LIGHT0_Up)}$

3) $\text{glClear(GL_COLOR_BUFFER_BIT | GL_DEPTH_BUFFER_BIT)}$

$\text{glPolygonOffset(1, 1)}$

$\text{glEnable(GL_POLYGON_OFFSET_FILL)}$

draw(Scene)

$\text{glDisable(GL_POLYGON_OFFSET_FILL)}$

Rasterització:
 escrivint del
 depth buffer
 (descarta font de llum)

4) $\text{glBindTexture(GL_TEXTURE2D, textureId)}$

$\text{glCopyTexSubImage2D(GL_TEXTURE2D, 0, 0, 0, 0, 0, 0, 0)}$

$\text{SHADOW_MAP_WIDTH, SHADOW_MAP_HEIGHT})$

Còpia del depth buffer al shadow buffer (lectura)

5) Generació de la imatge de visualització i projecció des de la càmera

Rasterització antes que la càmera
 amb VS i FS

6)

Problemes:

* acne (sampling errors)



* Dithering Frusta

undersampled oversampled

* Raliasing

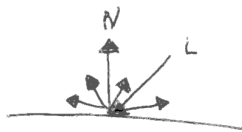
undersampling filtering

*llum directional

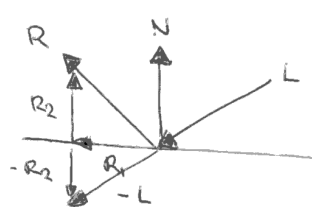
* Sarcà: polygon offset

Reflexió

Reflexió difusa



Reflexió especular



$$R = R_1 + R_2 = [2(N \cdot L)N - L]$$

$$R_1 = -L + R_2$$

$$R_2 = (N \cdot L)N$$

Objectes virtuels reflectits (sense stencil)

1) glPushMatrix()

glMultMatrix (matrix Simetric)

) Objectes virtuels i llum reflectits

glLightfv (GL_LIGHT0, GL_POSITION, position)

glCullFace (GL_FRONT)

draw (escena)

glPopMatrix()

2) glLightfv (GL_LIGHT0, GL_POSITION, position)) llum

glCullFace (GL_BACK)

draw (mural)

) Mural semi-transparente

3) draw (escena)) Objectes reals escena

Objectes virtuels reflectits (amb stencil)

1) glEnable (GL_STENCIL_TEST)

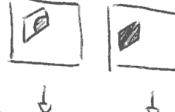
glStencilFunc (GL_ALWAYS, 1, 1)

glStencilOp (GL_KEEP, GL_KEEP, GL_REPLACE)

glDepthMask (GL_FALSE)

glColorMask (GL_FALSE, ...)) stencil mural

draw (mural)



2) glStencilFunc (GL_EQUAL, 1, 1)

glStencilOp (GL_KEEP, GL_KEEP, GL_KEEP)

glDepthMask (GL_TRUE)

glColorMask (GL_TRUE, ...)) Objectes virtuels reflectits al mural

glPushMatrix()

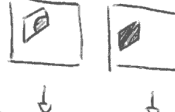
glMultMatrix (matrix Simetric)

glLightfv (GL_LIGHT0, GL_POSITION, position)

glCullFace (GL_FRONT)

draw (escena)

glPopMatrix()



3) glLightfv (GL_STENCIL_TEST)

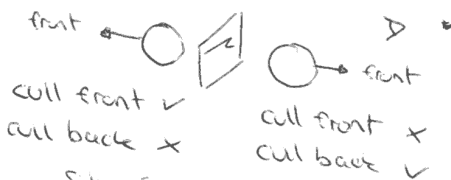
glCullFace (GL_FRONT)

draw (mural)

Blanc, mural i escena



Probleme:



Solució: invertir front/back



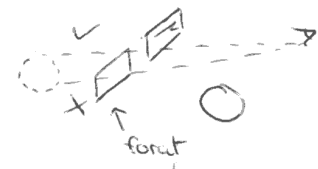
Solució: reflectir llum

Probleme:



Solució: només reflectir els objectes davant del mural.

Probleme:



Solució: només reflectir els objectes visibles a través del mural (retallant els ocults amb el clip plane) (complícat)

Solució: stencil

Objectes virtuels reflectits (amb Textures Anàmiques)

Rendintz la de l'escena reflectida; copia en una textura. Rendintz la de l'escena i el mural aplicant la textura. (la paut corresponent).

Es pot aprofitar la lectura fins que no hi ha un canvi.

Matriu de reflexió

$$P' = P - 2 \cdot \text{distància}(P, \text{pla}) \cdot n$$

$n = (a, b, c)$

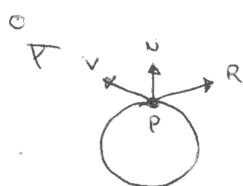
$P' = P - 2(aP_x + bP_y + cP_z + d)n$

$= M_P$

$ax + by + cz + d = 0$

$$M = \begin{pmatrix} 1 - 2a^2 & -2ab & -2ac & -2ad \\ -2ab & 1 - 2b^2 & -2bc & -2bd \\ -2ac & -2bc & 1 - 2c^2 & -2cd \\ 0 & 0 & 0 & 1 \end{pmatrix}$$

Mapping de l'entorn



$$V = \frac{O - P}{\|O - P\|}$$

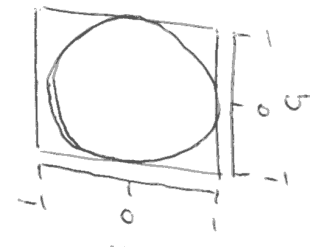
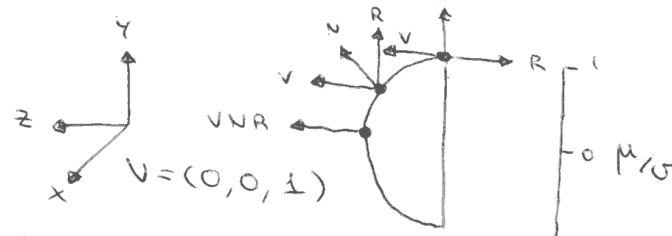
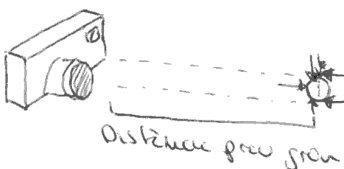
$$R = \text{reflect}(-V, N) = 2(N \cdot V)N - V$$

Fragment color = fragmentColor = EnvironmentMap(R)

F textura de l'entorn que conté el color del color de cada direcció R

També es fa servir per a representar l'entorn (background) amb $R = -V$.

Sphere mapping



$$R = 2(N \cdot V)N - V = 2 \left(\begin{pmatrix} n_x \\ n_y \\ n_z \end{pmatrix} \cdot \begin{pmatrix} 0 \\ 0 \\ 1 \end{pmatrix} \right) \begin{pmatrix} n_x \\ n_y \\ n_z \end{pmatrix} - \begin{pmatrix} 0 \\ 0 \\ 1 \end{pmatrix} = 2 \begin{pmatrix} n_z \\ n_z \\ n_z \end{pmatrix} \begin{pmatrix} n_x \\ n_y \\ n_z \end{pmatrix} - \begin{pmatrix} 0 \\ 0 \\ 1 \end{pmatrix}$$

$$= (2n_z n_x, 2n_z n_y, 2n_z^2 - 1) = (r_x, r_y, r_z)$$

$$\mu = P_x = n_x = \frac{r_x}{2n_z}$$

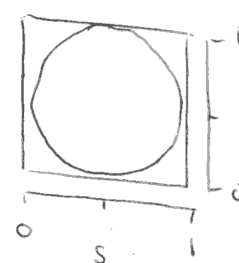
$$s = \frac{\mu + 1}{2}$$

$$t = \frac{r_y + 1}{2}$$

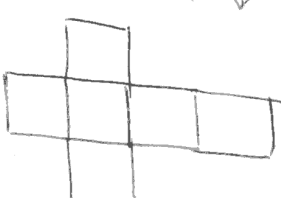
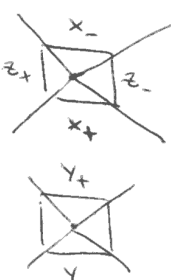
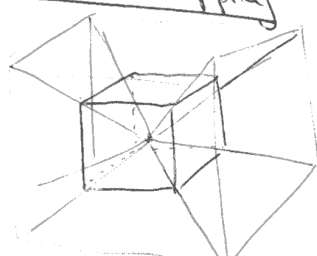
$$v = P_y = n_y = \frac{r_y}{2n_z}$$

$$p_z = n_z = \sqrt{r_z + 1}$$

uniform sampler2D sampler
fragColor = texture(sampler, st)



Cube mapping

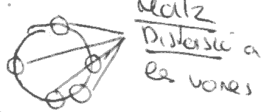


SLTexture2D(GL_TEXTURE_CUBE_MAP_POSITIVE_X_EXT, ...)

NEGATIVE_X " "
POSITIVE_Y " "
NEGATIVE_Y " "
POSITIVE_Z " "
NEGATIVE_Z " "

uniform samplerCube sampler
fragColor = textureCube(sampler, R)

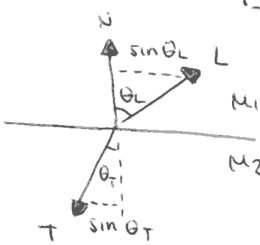
Worldspace v Niha
Eyespace v para desfocar



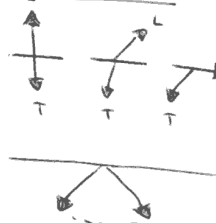
Refracció

Llei d'Snell

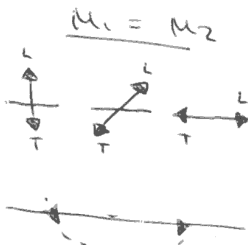
$$\sin \theta_T = \frac{M_1}{M_2} \sin \theta_L$$



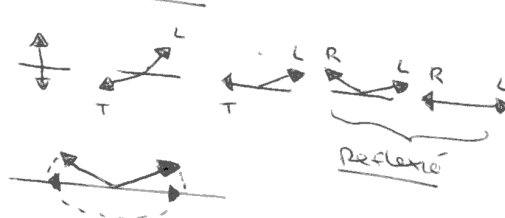
$$M_1 < M_2$$



$$M_1 = M_2$$



$$M_1 > M_2$$



Refracció en superfícies paral·leles:
(per exemple, finestres)

$$\begin{aligned} L &\parallel T & M_1 &\approx 1 \\ T_1 = L_1 && M_2 &\approx 1.5 \\ T_2 = L_2 && M_3 &= M_1 \end{aligned}$$

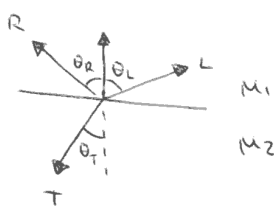
L || T (cas desplaçament)

Angle d'incidència òptic:

$$i = \frac{M_1 \sin \theta_L}{M_2} \Rightarrow$$

$$\theta_L = \arcsin \frac{M_2}{M_1} i$$

Equacions de Fresnel



Assumim:

- Comportament espectral pur
- No hi ha absorció ($R + T = 1$)
- Material d'elèctric (no conductor)

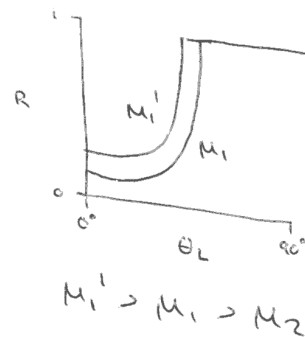
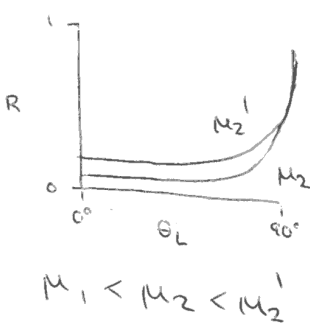
$$R = \frac{R_S + R_P}{2}$$

$$T = 1 - R$$

$$R_P = \left(\frac{\tan(\theta_T - \theta_L)}{\tan(\theta_T + \theta_L)} \right)^2$$

$$R_S = \left(\frac{\sin(\theta_T - \theta_L)}{\sin(\theta_T + \theta_L)} \right)^2$$

Modelen la "proporcionalitat entre reflectida R i refractada T".



Aproximació d'Schlick:

$$R = f + (1-f)(1-L \cdot N)^2$$

$$N = \frac{M_1}{M_2} \quad f = \frac{(1-M)^2}{(1+M)^2}$$

- Objectes opacs ordenats
 - Objectes transparents ordenats
 - Objectes desordenats
 - Objectes opacs desordenats
 - Objectes transparents desordenats
- z test z write

Alpha blending

glEnable(GL BLEND)

↳ Interpolació Lineal

glBlendFunc(GL_SRC_ALPHA, GL_ONE_MINUS_SRC_ALPHA)

$$\text{color} = a_s \cdot (r_s, g_s, b_s, a_s) + (1-a_s) \cdot (r_d, g_d, b_d, a_d)$$

glBlendFunc(GL_SRC_ALPHA, GL_ONE)

$$\text{color} = a_s \cdot (r_s, g_s, b_s, a_s) + \underline{1-(r_d, g_d, b_d, a_d)}) \quad \text{L'ordre no importa}$$

Addició ↳

Il·luminació global

- A diferència de la il·luminació local, té en compte la llum indirecte, a més de la directa (font → superfície → càmera).
- Hi ha dues grans famílies de tècniques: ray tracing i radiositat.

Radiometria

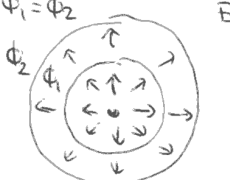
Símbol Nom unitat (radiometria)

$$\Phi \quad \text{Flux (W)}$$

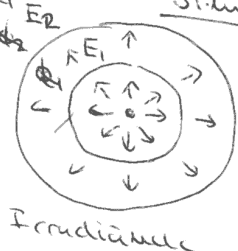
$$E \quad \text{Irradiància} \left(\frac{W}{m^2} \right)$$

$$I \quad \text{Intensitat} \left(\frac{W}{sr} \right)$$

$$L \quad \text{Radiància} \left(\frac{W}{sr m^2} \right)$$



Flux



Irradiància

$$L_i(\rho, \omega) \quad L_o(\rho, \omega)$$

Nom unitat (fotometria)

$$\text{Flux (lm)}$$

$$\text{Il·luminació (lux)} = \frac{\text{lm}}{m^2}$$

$$\text{Intensitat (cd)} = \frac{\text{lm}}{sr}$$

$$\text{Luminància (cd)}$$

$$E = \frac{\Phi}{A} \cos \theta = \frac{\Phi}{A} N.o.L$$



Irradiància i llei de Lambert

$$E(p) = \int_{\Omega} L_i(p, \omega) \cos \theta_w d\omega$$

Reflexió, és Energia emesa en un interval de temps.

Energia incident en una superfície en un interval de temps (des de generat directe).

Energia emesa en una direcció en un interval de temps.

Energia que es reflecteix en una direcció en una superfície en un interval de temps.

Angle pla (rad)

$$(0, 2\pi]$$

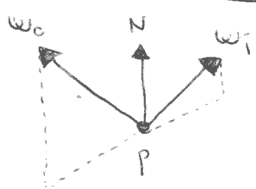
Angle solid (sr)

$$(0, 4\pi]$$

Le Radiància emesa
Li Radiància directe
Lo Radiància en sentit de la font del llum

Funció de distribució bidireccional

BRDF (reflexió)



$$f_r(p, w_o, w_i) = \frac{L_o(p, w_o)}{L_i(p, w_i) \cos \theta_i}$$

$$f_r(p, w_o, w_i) \geq 0$$

(no negativa)

$$f_r(p, w_o, w_i) = f_r(p, w_i, w_o)$$

(recíproca)

BTDF (refracció)

Equació general del rendering

$$L_o(p, w_o) = L_e(p, w_o) + \int_{\Omega} f_r(p, w_o, w_i) \cdot L_i(p, w_i) \cos \theta_i dw_i$$

Per a una freqüència (LGR) i en un interval de temps.

Light paths

Notació per a classificar els camins de la font del llum (L) a l'observador (E).

$$\text{Light} \rightarrow [L(CDIS)*E] \leftarrow \text{Eye}$$

Difusa Especular Example

$$\int_{\Omega} f_r(p, w_o, w_i) \cos \theta_i dw_i \leq 1$$

(conservació)

DD (especularitat radiòstica)

DS (difusa)

SS (especularitat Ray Tracing)

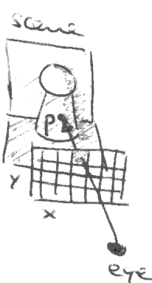
SE (difusa)

Ray Tracing

Ray casting

```

for each  $y \in \{y_1, \dots, y_n\}$ 
  for each  $x \in \{x_1, \dots, x_w\}$ 
    let  $r = \text{ray}(x, y, \text{eye})$ 
    let  $p = \text{intersection}(r, \text{scene})$ 
    let  $\text{color}_{x,y} = L_o(p, r)$ 
  
```



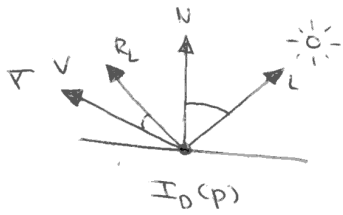
Ray tracing classic

$$I(p) = I_D(p) + I_R(p) + I_T(p)$$

$I_D(p) = K_a I_a + K_d \sum_L I_L(N \cdot L)$
 $I_R(p) = K_R L_R$
 $I_T(p) = K_T L_T$

Directe
Indirecte (reflexión/irradiación)
Difusión

Absent
Branco
Espejo



```

for each  $y \in \{y_1, \dots, y_n\}$ 
  for each  $x \in \{x_1, \dots, x_w\}$ 
    let  $R = \text{ray}(x, y, \text{eye})$ 
    let  $\text{color}_{x,y} = L(R, \lambda, C)$ 
  
```

$L(R, \lambda, \text{depth})$:

If $\text{depth} < \text{MAX-DEPTH}$ → else return $\text{color} = \text{bg}(\text{color}(\text{SCENE}) / (0, 0, 0)) / \dots$

Let $P = \text{intersection}(R, \text{SCENE})$

If P

 Let $\text{color} = I_D(P, \text{SCENE})$

 If reflects(P)

 Let $R_R = \text{reflect}(R, N_P)$

 Let $L_R = L(R_R, \lambda, \text{depth} + 1)$

 Let $\text{color} = (\text{color} + K_R L_R) \cdot L_R$

 If refracts(P)

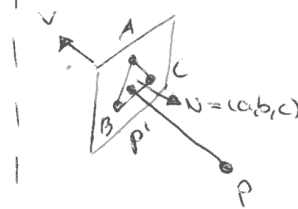
 Let $T_R = \text{refract}(R, N_P, \lambda) / \mu$

 Let $L_T = L(T_R, N_P, \text{depth} + 1)$

 Let $\text{color} = (\text{color} + K_T L_T) \cdot L_T$

return color

Intersection ray-triangle



1) Intersección con el plan?

$$p' = p + \lambda v, \lambda \geq 0$$

$$p' \in \text{pla} \Leftrightarrow ap'_x + bp'_y + cp'_z + d = 0$$

$$\Leftrightarrow a(p_x + \lambda v_x) + b(p_y + \lambda v_y) + c(p_z + \lambda v_z) + d = 0$$

$$\Leftrightarrow -apx - bp_y - cp_z - d = 0$$

$$\lambda = \frac{av_x + bv_y + cv_z}{av_x + bv_y + cv_z}$$

$$\Leftrightarrow \lambda = \frac{-d(p, \text{pla})}{N \cdot V} = \frac{(N) \cdot p}{N \cdot V}$$

$$\begin{cases} N \cdot V = 0 \Rightarrow N \perp V \\ N \cdot P = 0 \Rightarrow p' \in \text{pla} \\ N \cdot P \neq 0 \Rightarrow p' \notin \text{pla} \end{cases}$$

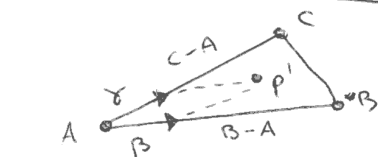
$$N \cdot V \neq 0 \Leftrightarrow$$

$$\begin{cases} \lambda < 0 \Rightarrow p' \notin \text{pla} \\ \lambda \geq 0 \Rightarrow p' \in \text{pla} \end{cases}$$

$$d = -(aA_x + bA_y + cA_z) = -N \cdot A$$

(que es el punto del triángulo perteneciente al pla)

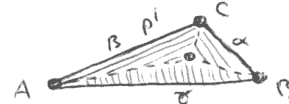
2) Intersección con el triángulo?



$$p' = A + \beta(B - A) + \gamma(C - A)$$

$$= (\alpha - \beta - \gamma)A + \beta B + \gamma C$$

$$= \alpha A + \beta B + \gamma C$$



$$\alpha = \frac{\text{Area}(P', B, C)}{\text{Area}(A, B, C)}$$

$$\beta = \frac{\text{Area}(P', A, C)}{\text{Area}(A, B, C)}$$

$$\gamma = \frac{\text{Area}(P', A, B)}{\text{Area}(A, B, C)}$$

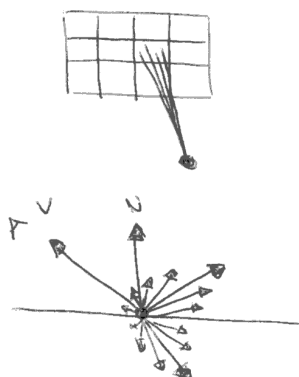
$$\alpha = \frac{\|(B - P') \times (C - P')\|}{\|(B - A) \times (C - A)\|}$$

$$\beta = \frac{\|(A - P') \times (C - P')\|}{\|(B - A) \times (C - A)\|}$$

$$\gamma = \frac{\|(A - P') \times (B - P')\|}{\|(B - A) \times (C - A)\|}$$

Soporte canales de tipos LOSS*

Path tracing



```

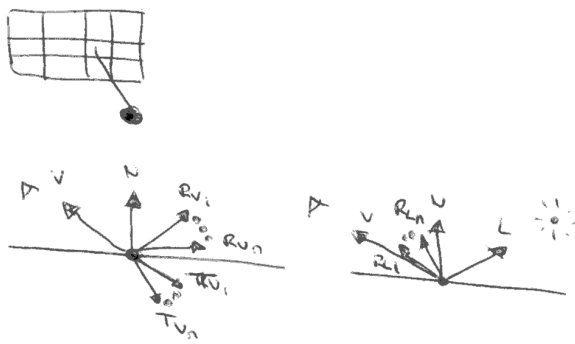
for each  $y \in \{y_1, \dots, y_n\}$ 
    for each  $x \in \{x_1, \dots, x_m\}$ 
        let  $\text{color}_{x,y} = (0,0,0)$ 
        for each  $i \in \{1, \dots, n\}$ 
            let  $R = \text{ray}(x + \text{random}(-0.5, 0.5), y + \text{random}(-0.5, 0.5), \text{eye})$ 
            let  $\text{color}_{x,y} = \text{color}_{x,y} + L(R, 1, 0)$ 
        let  $\text{color}_{x,y} = \text{color}_{x,y} / n$ 
    
```

Premem n mostres per a cada pixel i calculem els raigs reflectits/transmesos en funció de la distribució de presa d'imatge, per a incloure la reflexió difusa.

$L(\text{CDIS})^* E$

Problema: molt de soroll o moltes mostres (ineficient)

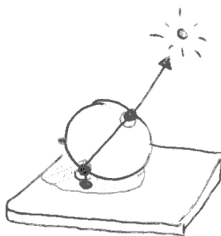
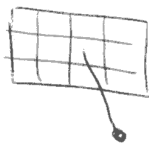
Distributed Ray Tracing



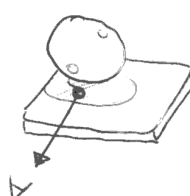
Premem multiples mostres (multiples rays) a cada punt, fent les transicions suaus.

$LDS^* E$

Two-pass Ray Tracing



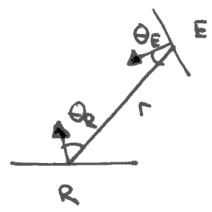
1) Ray tracing més des de la font de llum fins a un punt difús, on enveguem la llum incident (estructura de dades k-d tree).



2) Ray tracing des de l'observador fins a un punt difús, on reverguem la llum incident del punt més proper.

$LS^* DS^* E$

Odeuri ambient

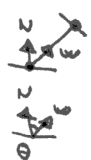


L'emissor oclou el receptor en funció de r , θ_R ; θ_E .

$$A(\rho) = \frac{1}{\pi} \int_{\Omega} V(\rho, \omega) (N \cdot \omega) d\omega$$

Funció de visibilitat
(des de ρ cap a ω)

Bodegues ($0 \circ 1$)
Revol continuu



Més distància \Rightarrow Menys oclusió
Més angle \Rightarrow Menys oclusió